

## SDLD02 - Système masse-ressort à 8 degrés de liberté

---

### Résumé :

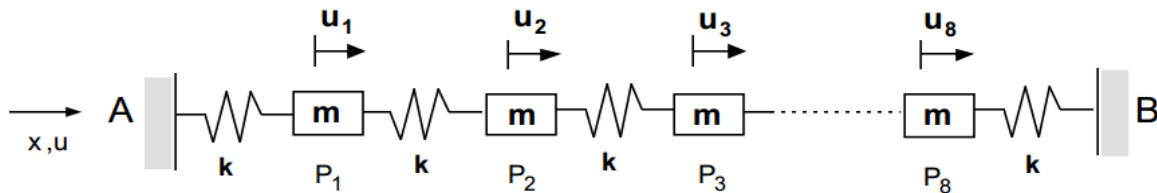
Ce problème bidimensionnel consiste à rechercher les fréquences et les modes de vibration d'une structure mécanique composée de masses et de ressorts. Ce cas-test de Mécanique des Structures correspond à une analyse dynamique d'un modèle discret ayant un comportement linéaire.

Ce test permet une validation complète des options de modélisation de rigidité et de masse discrètes (sans éléments finis) offertes par la commande `AFFE_CARA_ELEM`. Quatre modélisations différentes sont proposées : deux modélisations pour les éléments discrets en translation et deux autres pour les éléments discrets en translation/rotation. Par ailleurs, différentes fonctionnalités des commandes `CALC_MODES` (calcul de valeurs et de vecteurs propres) et `NORME_MODE` (définition de la norme d'un vecteur propre) sont testées.

Ce test fait référence à un test VPCS, mais il a été modifié. En effet, le test `Code_Aster` oriente le système mécanique sur un axe  $3y = 4x$ , ce qui permet de valider l'entrée des données en repère local.

## 1 Problème de référence

### 1.1 Géométrie



Masses ponctuelles :  $m_{P_1} = m_{P_2} = m_{P_3} = \dots = m_{P_8} = m$

Raideurs de liaison :  $k_{AP1} = k_{P1P2} = k_{P2P3} = \dots = k_{P8B} = k$

### 1.2 Propriétés de matériaux

Ressort de translation élastique linéaire	$k = 10^5 \text{ N/m}$
Masse ponctuelle	$m = 10 \text{ kg}$

### 1.3 Conditions aux limites et chargements

Points  $A$  et  $B$  : encastrés ( $u=0$ ).

### 1.4 Conditions initiales

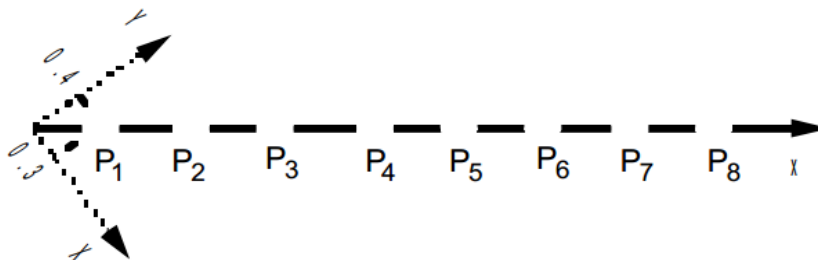
Sans objet pour l'analyse modale.



## 3 Modélisation A

### 3.1 Caractéristiques de la modélisation

Élément discret de rigidité en translation DIS\_T



Caractéristiques des éléments :

ORIENTATION : en tous les nœuds avec un angle  $\alpha = 53.130102^\circ$

DISCRET :  
avec masses nodales tous les nœuds M\_T\_D\_N en repère absolu ( $m = 10.$ )  
matrices de rigidité toutes mailles K\_T\_D\_L en repère local ( $K_x = 1.10^5$ )  
aux nœuds extrémités K\_T\_D\_N en repère local ( $K_x = 1.10^5$ )

Conditions limites :

DDL\_IMPO : ( TOUT: 'OUI' DZ: 0. )  
LIAISON\_DDL : (telle que  $3D_y = 4D_x$  en tous les nœuds)

Noms des nœuds :  $P_1, P_2, \dots, P_8$   
Point A = N1 N2

### 3.2 Caractéristiques du maillage

Nombre de nœuds : 8  
Nombre de mailles et types : 7 SEG2

### 3.3 Grandeurs testées et résultats

Identification Numéro du mode propre	Référence
1	5.5274
2	10.8868
3	15.9155
4	20.4606
5	24.3840
6	27.5664
7	29.9113
8	31.3474

## Mode normé à 1 à la plus grande composante

Nature du mode propre	Point	Référence
Translation 1 ( $Dy$ ) $\Phi_1$	P1	-0.3473
	P2	-0.6527
	P3	-0.8793
	P4	-1.
	P5	-1.
	P6	-0.8793
	P7	-0.6527
	P8	-0.3473
Translation 8 ( $Dy$ ) $\Phi_8$	P1	0.3473
	P2	-0.6527
	P3	0.8793
	P4	-1.
	P5	1.
	P6	-0.8793
	P7	0.6527
	P8	-0.3473

Erreur maximale inférieure à : 0.03%.

## Mode normé à la masse généralisée unitaire

Nature du mode propre	Point	Référence
Translation 1 ( $Dy$ ) $\Phi_1$	P1	-4.0781E-2
	P2	-7.6654E-2
	P3	-1.0327E-1
	P4	-1.1743E-1
	P5	-1.1743E-1
	P6	-1.0327E-1
	P7	-7.6654E-2
	P8	-4.0781E-2
Translation 8 ( $Dy$ ) $\Phi_8$	P1	4.0781E-2
	P2	-7.6654E-2
	P3	1.0327E-1
	P4	-1.1743E-1
	P5	1.1743E-1
	P6	-1.0327E-1
	P7	7.6654E-2
	P8	-4.0781E-2

Erreur maximale inférieure à : 0.03%.

## Mode normé à la raideur généralisée unitaire

Nature du mode propre	Point	Référence
Translation 1 ( $Dy$ ) $\Phi_1$	P1	-1.1742E-3
	P2	-2.2072E-3
	P3	-2.9735E-3
	P4	-3.3813E-3
	P5	-3.3813E-3
	P6	-2.9735E-3
	P7	-2.2072E-3
	P8	-1.1742E-3
Translation 8 ( $Dy$ ) $\Phi_8$	P1	2.0705E-4
	P2	-3.8918E-4
	P3	5.2432E-4
	P4	-5.9621E-4
	P5	5.9621E-4
	P6	-5.2432E-4
	P7	3.8918E-4
	P8	-2.0705E-4

Erreur maximale inférieure à : 0.03%.

On teste aussi la commande `INFO_MODE`. Le GEP étant standard (matrices symétriques réelles) ses valeurs propres appartiennent uniquement à l'axe réel. Sur ce cas, on peut donc comparer les deux méthodes de dénombrement (`COMPTAGE/METHODE='STURM'` et `'APM'`) et vérifier qu'elles donnent bien les mêmes résultats.

On détermine ainsi le nombre de valeurs propres ( `NB_FREQ` ) contenues strictement dans une bande fréquentielle `[FREQ_MIN, FREQ_MAX]` (si Sturm) ou dans le disque de centre `FREQ_CENTRE` et de rayon, en fréquentiel,  $\frac{\sqrt{\text{FREQ\_RAYON\_CONTOUR}}}{2\pi}$  (si APM) . On précise la méthode de dénombrement utilisée (Sturm ou APM).

Concept	FREQ_MIN/ FREQ_CENTRE	FREQ_MAX/ FREQ_RAYON_ CONTOUR	NB_FREQ	Méthode de dénombrement
NBMOD01	0.0	5	0	Sturm
NBMOD02	0.0	21	4 On compte $(\lambda_i)_{i=1,4}$	Sturm
NBMOD03	0.0	32	8 On compte $(\lambda_i)_{i=1,8}$	Sturm
NBMOD11	0.0+0.0j	986.96 (= $(5 \times 2\pi)^2$ )	0 Idem NBMOD01	APM
NBMOD12	0.0+0.0j	1740.99 (= $(21 \times 2\pi)^2$ )	4 Idem NBMOD02	APM
NBMOD13	0.0+0.0j	4042.58 (= $(32 \times 2\pi)^2$ )	8 Idem NBMOD03	APM
NBMOD4	10000.0+0.0j	5000.0	1	APM

	$(= (15.91 \times 2\pi)^2)$		On compte $\lambda_1$	
NBMOD5	1000.0(10.0 + j)	900.0	0	APM

## 3.4 Remarques

Calculs effectués par :

```
CALC_MODES  
  OPTION='AJUSTE',  
  CALC_FREQ=_F(FREQ=(5., 10., 15., 20., 24., 27., 30., 32.)),  
  SOLVEUR_MODAL=_F(OPTION_INV='DIRECT')
```

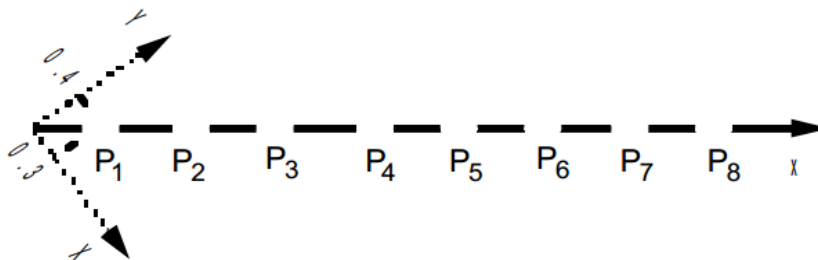
**Contenu du fichier résultats :**

8 premières fréquences propres, vecteurs propres et paramètres modaux

## 4 Modélisation B

### 4.1 Caractéristiques de la modélisation

Élément discret de rigidité en translation DIS\_T



Caractéristiques des éléments :

ORIENTATION : en tous les nœuds avec un angle  $\alpha = 53.130102^\circ$

DISCRET :

masses nodales tous les nœuds	M_T_N	en repère absolu	( $m = 10.$ )
matrices de rigidité toutes mailles	K_T_L	en repère local	( $K_x = 1.10^5$ )
aux nœuds extrémités	K_T_N	en repère local	( $K_x = 1.10^5$ )

Conditions limites :

DDL\_IMPO : ( TOUT : 'OUI' DZ : 0. )  
LIAISON\_DDL : ( telle que  $3Dy = 4Dx$  en tous les nœuds )

Noms des nœuds :  $P_1, P_2, \dots, P_8$

### 4.2 Caractéristiques du maillage

Nombre de nœuds : 8  
Nombre de mailles et types : 7 SEG2

### 4.3 Grandeurs testées et résultats

Identification Numéro du mode propre	Référence
1	5.5274
2	10.8868
3	15.9155
4	20.4606
5	24.3840
6	27.5664
7	29.9113
8	31.3474



## Mode normé à 1 à la plus grande composante

Nature du mode propre	Point	Référence
Translation 1 ( $Dy$ ) $\Phi_1$	P1	-0.3473
	P2	-0.6527
	P3	-0.8793
	P4	-1.
	P5	-1.
	P6	-0.8793
	P7	-0.6527
	P8	-0.3473
Translation 8 ( $Dy$ ) $\Phi_8$	P1	0.3473
	P2	-0.6527
	P3	0.8793
	P4	-1.
	P5	1.
	P6	-0.8793
	P7	0.6527
	P8	-0.3473

Erreur maximale inférieure à : 0.03%.

## Mode normé à la masse généralisée unitaire

Nature du mode propre	Point	Référence
Translation 1 ( $Dy$ ) $\Phi_1$	P1	-4.0781E-2
	P2	-7.6654E-2
	P3	-1.0327E-1
	P4	-1.1743E-1
	P5	-1.1743E-1
	P6	-1.0327E-1
	P7	-7.6654E-2
	P8	-4.0781E-2
Translation 8 ( $Dy$ ) $\Phi_8$	P1	4.0781E-2
	P2	-7.6654E-2
	P3	1.0327E-1
	P4	-1.1743E-1
	P5	1.1743E-1
	P6	-1.0327E-1
	P7	7.6654E-2
	P8	-4.0781E-2

Erreur maximale inférieure à : 0.03%.

## Mode normé à la raideur généralisée unitaire

Nature du mode propre	Point	Référence
Translation 1 ( $Dy$ ) $\Phi_1$	P1	-1.1742E-3
	P2	-2.2072E-3
	P3	-2.9735E-3
	P4	-3.3813E-3
	P5	-3.3813E-3
	P6	-2.9735E-3
	P7	-2.2072E-3
	P8	-1.1742E-3

---

	P1	2.0705E-4
	P2	-3.8918E-4
Translation 8	P3	5.2432E-4
( $Dy$ )	P4	-5.9621E-4
$\Phi_8$	P5	5.9621E-4
	P6	-5.2432E-4
	P7	3.8918E-4
	P8	-2.0705E-4

Erreur maximale inférieure à : 0.03%.

## 4.4 Remarques

Calculs effectués par :

```
CALC_MODES  
      OPTION='PLUS_PETITE',  
      CALC_FREQ=_F(NMAX_FREQ = 8),
```

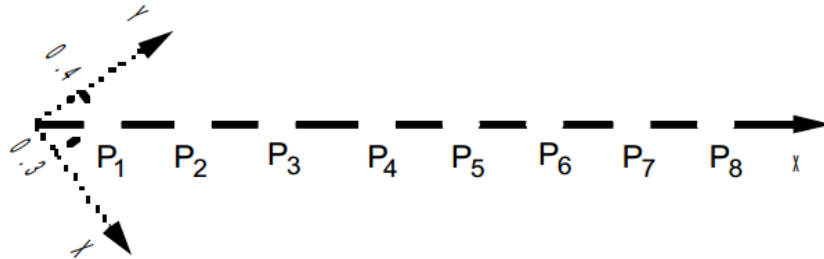
**Contenu du fichier résultats :**

8 premières fréquences propres, vecteurs propres et paramètres modaux

## 5 Modélisation C

### 5.1 Caractéristiques de la modélisation

Transposition du test de référence au cas des degrés de liberté de rotation (ressort de torsion + inertie) en utilisant l'élément discret de rigidité en translation/rotation DIS\_TR.



Caractéristiques des éléments :

ORIENTATION : en tous les nœuds avec un angle  $\alpha = 53.130102^\circ$

DISCRET :  
avec masses nodales tous les nœuds M\_TR\_D\_N en repère absolu ( $I_{xx} = 10.$ )  
matrices de rigidité toutes mailles K\_TR\_D\_L en repère local ( $KR_x = 1.10^5$ )  
aux nœuds K\_TR\_D\_N en repère local ( $KR_x = 1.10^5$ )  
extrémités

Conditions limites :

DDL\_IMPO : ( TOUT:'OUI' DX: 0., DZ: 0., DRZ: 0. )  
LIAISON\_DDL : (telle que 3DRY=4DRY en tous les nœuds)

Noms des nœuds :  $P_1, P_2, \dots, P_8$

### 5.2 Caractéristiques du maillage

Nombre de nœuds : 8

Nombre de mailles et types : 7 SEG2

### 5.3 Grandeurs testées et résultats

Identification	Référence
Numéro du mode propre	
1	5.5274
2	10.8868
3	15.9155
4	20.4606
5	24.3840
6	27.5664
7	29.9113
8	31.3474

## Mode normé à 1 à la plus grande composante

Nature du mode propre	Point	Référence
Rotation 1 ( <i>DRY</i> ) $\Phi_1$	P1	-0.3473
	P2	-0.6527
	P3	-0.8793
	P4	-1.
	P5	-1.
	P6	-0.8793
	P7	-0.6527
	P8	-0.3473
Rotation 8 ( <i>DRY</i> ) $\Phi_8$	P1	0.3473
	P2	-0.6527
	P3	0.8793
	P4	-1.
	P5	1.
	P6	-0.8793
	P7	0.6527
	P8	-0.3473

Erreur maximale inférieure à : 0.03%.

## Mode normé à la masse généralisée unitaire

Nature du mode propre	Point	Référence
Rotation 1 ( <i>DRY</i> ) $\Phi_1$	P1	-4.0781E-2
	P2	-7.6654E-2
	P3	-1.0327E-1
	P4	-1.1743E-1
	P5	-1.1743E-1
	P6	-1.0327E-1
	P7	-7.6654E-2
	P8	-4.0781E-2
Rotation 8 ( <i>DRY</i> ) $\Phi_8$	P1	4.0781E-2
	P2	-7.6654E-2
	P3	1.0327E-1
	P4	-1.1743E-1
	P5	1.1743E-1
	P6	-1.0327E-1
	P7	7.6654E-2
	P8	-4.0781E-2

Erreur maximale inférieure à : 0.03%.

## Mode normé à la raideur généralisée unitaire

Nature du mode propre	Point	Référence
Rotation 1 ( <i>DRY</i> ) $\Phi_1$	P1	-1.1742E-3
	P2	-2.2072E-3
	P3	-2.9735E-3
	P4	-3.3813E-3
	P5	-3.3813E-3
	P6	-2.9735E-3
	P7	-2.2072E-3
	P8	-1.1742E-3

---

	P1	2.0705E-4
	P2	-3.8918E-4
Rotation 8	P3	5.2432E-4
( DRY )	P4	-5.9621E-4
$\Phi_8$	P5	5.9621E-4
	P6	-5.2432E-4
	P7	3.8918E-4
	P8	-2.0705E-4

Erreur maximale inférieure à : 0.03%.

## 5.4 Remarques

Calculs effectués par :

```
CALC_MODES  
  OPTION='AJUSTE',  
  CALC_FREQ=_F(FREQ=(5., 10., 15., 20., 24., 27., 30., 32.)),  
  SOLVEUR_MODAL=_F(OPTION_INV='DIRECT'),
```

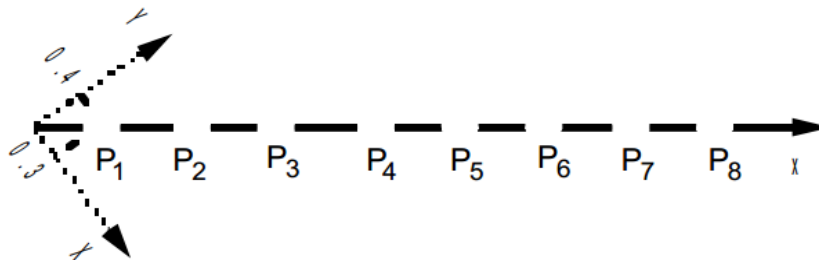
**Contenu du fichier résultats :**

8 premières fréquences propres, vecteurs propres et paramètres modaux

## 6 Modélisation D

### 6.1 Caractéristiques de la modélisation

Transposition du test de référence au cas des degrés de liberté de rotation (ressort de torsion + inertie) en utilisant l'élément discret de rigidité en translation/rotation : DIS\_TR.



Caractéristiques des éléments :

ORIENTATION : en tous les nœuds avec un angle  $\alpha = 53.130102^\circ$

DISCRET :  
avec masses nodales tous les nœuds M\_TR\_N en repère absolu ( $I_{xx} = 10.$ )  
matrices de rigidité toutes mailles K\_TR\_L en repère local ( $KR_x = 1.10^5$ )  
aux nœuds K\_TR\_N en repère local ( $KR_x = 1.10^5$ )  
extrémités

Conditions limites :

DDL\_IMPO : ( TOUT:'OUI' DX: 0., DY: 0., DZ: 0., DRZ: 0. )  
LIAISON\_DDL : (telle que 3DRY=4DRY en tous les nœuds)

Noms des nœuds :  $P_1, P_2, \dots, P_8$

### 6.2 Caractéristiques du maillage

Nombre de nœuds : 8

Nombre de mailles et types : 7 SEG2

### 6.3 Grandeurs testées et résultats

Identification	Référence
Numéro du mode propre	
1	5.5274
2	10.8868
3	15.9155
4	20.4606
5	24.3840
6	27.5664
7	29.9113
8	31.3474

## Mode normé à 1 à la plus grande composante

Nature du mode propre	Point	Référence
Rotation 1 ( DRY ) $\Phi_1$	P1	-0.3473
	P2	-0.6527
	P3	-0.8793
	P4	-1.
	P5	-1.
	P6	-0.8793
	P7	-0.6527
	P8	-0.3473
Rotation 8 ( DRY ) $\Phi_8$	P1	0.3473
	P2	-0.6527
	P3	0.8793
	P4	-1.
	P5	1.
	P6	-0.8793
	P7	0.6527
	P8	-0.3473

Erreur maximale inférieure à : 0.03%.

## Mode normé à la masse généralisée unitaire

Nature du mode propre	Point	Référence
Rotation 1 ( DRY ) $\Phi_1$	P1	-4.0781E-2
	P2	-7.6654E-2
	P3	-1.0327E-1
	P4	-1.1743E-1
	P5	-1.1743E-1
	P6	-1.0327E-1
	P7	-7.6654E-2
	P8	-4.0781E-2
Rotation 8 ( DRY ) $\Phi_8$	P1	4.0781E-2
	P2	-7.6654E-2
	P3	1.0327E-1
	P4	-1.1743E-1
	P5	1.1743E-1
	P6	-1.0327E-1
	P7	7.6654E-2
	P8	-4.0781E-2

Erreur maximale inférieure à : 0.03%.

## Mode normé à la raideur généralisée unitaire

Nature du mode propre	Point	Référence
Rotation 1 ( DRY ) $\Phi_1$	P1	-1.1742E-3
	P2	-2.2072E-3
	P3	-2.9735E-3
	P4	-3.3813E-3
	P5	-3.3813E-3
	P6	-2.9735E-3
	P7	-2.2072E-3
	P8	-1.1742E-3

---

	P1	2.0705E-4
	P2	-3.8918E-4
Rotation 8	P3	5.2432E-4
( DRY )	P4	-5.9621E-4
$\Phi_8$	P5	5.9621E-4
	P6	-5.2432E-4
	P7	3.8918E-4
	P8	-2.0705E-4

Erreur maximale inférieure à : 0.03%.

## 6.4 Remarques

Calculs effectués par :

```
CALC_MODES  
  OPTION='AJUSTE',  
  CALC_FREQ=_F(FREQ=(5., 10., 15., 20., 24., 27., 30., 32.)),  
  SOLVEUR_MODAL=_F(OPTION_INV='DIRECT'),
```

**Contenu du fichier résultats :**

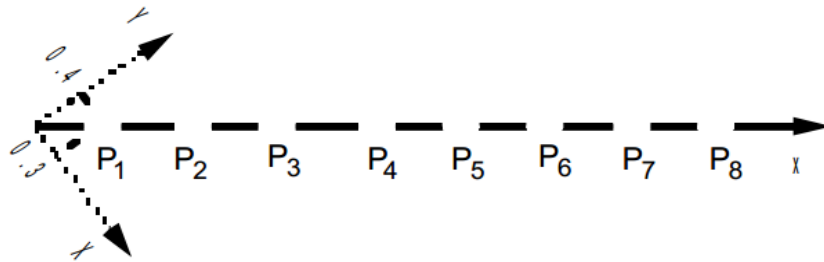
8 premières fréquences propres, vecteurs propres et paramètres modaux



## 7 Modélisation E

### 7.1 Caractéristiques de la modélisation

Élément discret de rigidité en translation 2D\_DIS\_T



Caractéristiques des éléments :

ORIENTATION : en tous les nœuds avec un angle  $\alpha = 53.130102^\circ$

DISCRET :  
avec masses nodales tous les nœuds  $M_{T\_D\_N}$  en repère absolu ( $m = 10.$ )  
matrices de rigidité toutes mailles  $K_{T\_D\_L}$  en repère local ( $K_x = 1.10^5$ )  
aux nœuds extrémités  $K_{T\_D\_N}$  en repère local ( $K_x = 1.10^5$ )

Conditions limites :

LIAISON\_DDL : (telle que  $3Dy = 4Dx$  en tous les nœuds)

Noms des nœuds :  $P_1, P_2, \dots, P_8$   
Point A = N1 N2

### 7.2 Caractéristiques du maillage

Nombre de nœuds : 8  
Nombre de mailles et types : 7 SEG2

### 7.3 Grandeurs testées et résultats

Identification Numéro du mode propre	Référence
1	5.5274
2	10.8868
3	15.9155
4	20.4606
5	24.3840
6	27.5664
7	29.9113
8	31.3474

## Mode normé à 1 à la plus grande composante

Nature du mode propre	Point	Référence
Translation 1 ( $Dy$ ) $\Phi_1$	P1	-0.3473
	P2	-0.6527
	P3	-0.8793
	P4	-1.
	P5	-1.
	P6	-0.8793
	P7	-0.6527
	P8	-0.3473
Translation 8 ( $Dy$ ) $\Phi_8$	P1	0.3473
	P2	-0.6527
	P3	0.8793
	P4	-1.
	P5	1.
	P6	-0.8793
	P7	0.6527
	P8	-0.3473

Erreur maximale inférieure à : 0.03%.

## Mode normé à la masse généralisée unitaire

Nature du mode propre	Point	Référence
Translation 1 ( $Dy$ ) $\Phi_1$	P1	-4.0781E-2
	P2	-7.6654E-2
	P3	-1.0327E-1
	P4	-1.1743E-1
	P5	-1.1743E-1
	P6	-1.0327E-1
	P7	-7.6654E-2
	P8	-4.0781E-2
Translation 8 ( $Dy$ ) $\Phi_8$	P1	4.0781E-2
	P2	-7.6654E-2
	P3	1.0327E-1
	P4	-1.1743E-1
	P5	1.1743E-1
	P6	-1.0327E-1
	P7	7.6654E-2
	P8	-4.0781E-2

Erreur maximale inférieure à : 0.03%.

## Mode normé à la raideur généralisée unitaire

Nature du mode propre	Point	Référence
Translation 1 ( $Dy$ ) $\Phi_1$	P1	-1.1742E-3
	P2	-2.2072E-3
	P3	-2.9735E-3
	P4	-3.3813E-3
	P5	-3.3813E-3
	P6	-2.9735E-3
	P7	-2.2072E-3
	P8	-1.1742E-3

---

	P1	2.0705E-4
	P2	-3.8918E-4
Translation 8	P3	5.2432E-4
( $Dy$ )	P4	-5.9621E-4
$\Phi_8$	P5	5.9621E-4
	P6	-5.2432E-4
	P7	3.8918E-4
	P8	-2.0705E-4

Erreur maximale inférieure à : 0.03%.

## 7.4 Remarques

Calculs effectués par :

```
CALC_MODES  
    OPTION=' AJUSTE' ,  
    CALC_FREQ=_F(FREQ=(5., 10., 15., 20., 24., 27., 30., 32.)),  
    SOLVEUR_MODAL=_F(OPTION_INV='DIRECT')
```

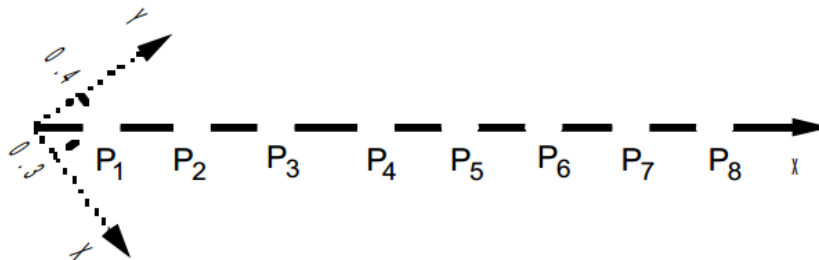
**Contenu du fichier résultats :**

8 premières fréquences propres, vecteurs propres et paramètres modaux

## 8 Modélisation F

### 8.1 Caractéristiques de la modélisation

Élément discret de rigidité en translation/rotation : 2D\_DIS\_TR



Caractéristiques des éléments :

ORIENTATION : en tous les nœuds avec un angle  $\alpha = 53.130102^\circ$

DISCRET :  
avec masses nodales tous les nœuds M\_T\_D\_N en repère absolu ( $m = 10.$ )  
matrices de rigidité toutes mailles K\_T\_D\_L en repère local ( $K_x = 1.10^5$ )  
aux nœuds extrémités K\_T\_D\_N en repère local ( $K_x = 1.10^5$ )

Conditions limites :

DDL\_IMPO : ( TOUT : 'OUI' DRZ : 0. )  
LIAISON\_DDL : (telle que  $3Dy = 4Dx$  en tous les nœuds)

Noms des nœuds :  $P_1, P_2, \dots, P_8$

Point  $A = N1$   $N2$

### 8.2 Caractéristiques du maillage

Nombre de nœuds : 8  
Nombre de mailles et types : 7 SEG2

### 8.3 Grandeurs testées et résultats

Identification	Référence
Numéro du mode propre	
1	5.5274
2	10.8868
3	15.9155
4	20.4606
5	24.3840
6	27.5664
7	29.9113

8 31.3474

## Mode normé à 1 à la plus grande composante

Nature du mode propre	Point	Référence
Translation 1 ( $Dy$ ) $\Phi_1$	P1	-0.3473
	P2	-0.6527
	P3	-0.8793
	P4	-1.
	P5	-1.
	P6	-0.8793
	P7	-0.6527
	P8	-0.3473
Translation 8 ( $Dy$ ) $\Phi_8$	P1	0.3473
	P2	-0.6527
	P3	0.8793
	P4	-1.
	P5	1.
	P6	-0.8793
	P7	0.6527
	P8	-0.3473

Erreur maximale inférieure à : 0.03%.

## Mode normé à la masse généralisée unitaire

Nature du mode propre	Point	Référence
Translation 1 ( $Dy$ ) $\Phi_1$	P1	-4.0781E-2
	P2	-7.6654E-2
	P3	-1.0327E-1
	P4	-1.1743E-1
	P5	-1.1743E-1
	P6	-1.0327E-1
	P7	-7.6654E-2
	P8	-4.0781E-2
Translation 8 ( $Dy$ ) $\Phi_8$	P1	4.0781E-2
	P2	-7.6654E-2
	P3	1.0327E-1
	P4	-1.1743E-1
	P5	1.1743E-1
	P6	-1.0327E-1
	P7	7.6654E-2
	P8	-4.0781E-2

Erreur maximale inférieure à : 0.03%.

## Mode normé à la raideur généralisée unitaire

Nature du mode propre	Point	Référence
-----------------------	-------	-----------

---

Translation 1 ( $Dy$ ) $\Phi_1$	P1	-1.1742E-3
	P2	-2.2072E-3
	P3	-2.9735E-3
	P4	-3.3813E-3
	P5	-3.3813E-3
	P6	-2.9735E-3
	P7	-2.2072E-3
	P8	-1.1742E-3

---

Translation 8 ( $Dy$ ) $\Phi_8$	P1	2.0705E-4
	P2	-3.8918E-4
	P3	5.2432E-4
	P4	-5.9621E-4
	P5	5.9621E-4
	P6	-5.2432E-4
	P7	3.8918E-4
	P8	-2.0705E-4

Erreur maximale inférieure à : 0.03%.

## 8.4 Remarques

Calculs effectués par :

```
CALC_MODES  
    OPTION='AJUSTE',  
    CALC_FREQ=_F(FREQ=(5., 10., 15., 20., 24., 27., 30., 32.)),  
    SOLVEUR_MODAL=_F(OPTION_INV='DIRECT'),
```

**Contenu du fichier résultats :**

8 premières fréquences propres, vecteurs propres et paramètres modaux

## 9 Synthèse des résultats

---

Pour toutes les options de modélisation des éléments discrets de rigidité et de masse offertes par `AFFE_CARA_ELEM` les solutions obtenues sont celles de la solution de référence (fréquences et modes propres avec différentes normalisations).